

علمی - پژوهشی

## بررسی عددی اثرات آبودینامیکی میزان خمیدگی بالک‌های خمیده مقابل هم و مقایسه آن‌ها با بالک‌های تخت در جریان مافوق صوت

علی اسماعیلی<sup>۳</sup>

گروه مکانیک، دانشکده مهندسی  
دانشگاه فردوسی مشهد، مشهد، ایران

محمود پسندیده فرد<sup>\*۲</sup>

گروه مکانیک، دانشکده مهندسی  
دانشگاه فردوسی مشهد، مشهد، ایران  
(تاریخ دریافت: ۱۴۰۲/۰۱/۲۷؛ تاریخ پذیرش: ۱۴۰۲/۰۵/۲۰)

امیر باقری<sup>۱</sup>

گروه مکانیک، دانشکده مهندسی  
دانشگاه فردوسی مشهد، مشهد، ایران

### چکیده

بالک‌های خمیده به دلیل امکان قرارگیری در درون لوله مزیت مهمی برای پرتاپهای دارای این نوع بالک در جانمایی و حمل و نقل آن‌ها ایجاد می‌کنند. بالک‌های خمیده متداول ویژگی‌های آبودینامیکی منحصر به فردی مانند تعییر در اندازه و جهت غلتش با افزایش عدد ماخ را دارا هستند. بالک‌های خمیده مقابله هم ویژگی‌های آبودینامیکی نابجا و غیرخطی این بالک‌ها را حذف کرده و زمینه را برای هدایت پرتاپهای دارای بالک‌های خمیده فراهم می‌کند. در این تحقیق اثر میزان انحنای بالک‌های خمیدگی بالک‌های خمیده مقابله هم بر عملکرد آبودینامیکی پرتاپه، مورد بررسی قرار گرفته است. این بررسی با استفاده از شبیه‌سازی عددی انجام شده و نتایج با مقادیر تولید باد مقایسه گردید که از دقت خوبی برخوردار است. شبیه‌سازی در عدد ماخ ۱/۵ و زوایای حمله ۰ و ۵ درجه با فرض جریان تراکم پذیر لزج انجام شده است و فیزیک جریان در اطراف بالک‌ها مورد مذاقه قرار گرفته است. نتایج نشان داد افزایش انحنای بالک‌ها ضریب برآ و پسا را به میزان ۷ درصد و گشتاور پیچشی را تا ۲۰ درصد افزایش می‌دهد. همچنین افزایش انحنای جدایش جریان در محل اتصال لبه حمله بالک به بدنه را حذف می‌کند.

**کلیدواژه‌ها:** بالک‌های خمیده مقابله هم، انحنای بالک، ضرایب برآ و پسا، ضریب گشتاور

### Numerical investigation of the aerodynamics effects of fins curvature of opposite wrap-around fins and comparison with flat fins in supersonic flow

Amir Bagheri

Department of Mechanical  
Engineering,  
Ferdowsi University of Mashhad

Mahmoud Pasandidehfard

Department of Mechanical  
Engineering,  
Ferdowsi University of Mashhad  
(Received:2023/April/16;Accepted:2023/Agust/11)

Ali Esmaeili

Department of Mechanical  
Engineering,  
Ferdowsi University of Mashhad

### ABSTRACT

Conventional Wrap-Around Fins (WAF) have unique aerodynamic characteristics, such as changing the roll moment direction with increasing Mach number and the nonlinearity of the aerodynamic coefficients. The placement of Wrap-Around Fins against each other eliminates their aberrant and non-linear aerodynamic characteristics and provides the condition with a less complicated guidance system. In this research, the effects of curvature of Opposite Wrap-Around Fins (OWAF) on the aerodynamic performance of the projectile has been investigated. This investigation has been done numerically, and the results were compared with the wind-tunnel accessible test data, which have good accuracy. The simulation has been carried out at a Mach number of 1.5 and an angle of attack of 0 and 5 degrees, assuming a turbulent compressible flow; the physics of the flow around the fins has been investigated. The results showed that increasing fins curvature increases lift and drag coefficients by 7% and pitch moment up to 20%. Also, the fin curvature eliminate flow separation in junction of fin leading edge and body.

**Keywords:** Opposite Wrap-Around Fin (OWAF), fin curvature, lift and drag coefficients, pitch moment.

۱- دانشجوی دکتری: bagheri.amir@mail.um.ac.ir

۲- استاد (نویسنده پاسخگو): fard\_m@um.ac.ir

۳- استادیار: aliesmaeili@um.ac.ir

## ۱- مقدمه

زیادی - با استفاده از آزمون پروازآزاد و تونل باد - بر روی بالک‌های خمیده متداول در گستره وسیعی از سرعت‌های زیر صوت تا مافق‌صوت انجام دادند. آن‌ها دریافتند ضخامت بالک مؤلفه‌ای مهم در آئرودینامیک پرتا به است. همچنین هندسه اتصال و انحنای بالک‌ها در گشتاور غلتی اثرگذار است؛ به صورتی که در زاویه نصب کمتر، گشتاور غلتی بیشتری ایجاد می‌شود. آن‌ها [۱۰] به بررسی نسبت طول به قطر بدنه، زاویه برگشت و ضخامت بالک در ماخ‌های مختلف پرداختند. نتایج نشان داد ضخامت بالک در نیروی عمودی و گشتاور پیچشی بی‌تأثیر است. تیلمان و همکاران [۱۱] به بررسی جریان در اطراف یک بالک خمیده در ماخ‌های متفاوت با استفاده از آزمایش‌های تجربی و شبیه‌سازی عددی پرداختند. بررسی آنها نشان‌دهنده وجود گردابهای در اتصال بین بدنه و قسمت محدب بالک است که باعث تغییر توزیع فشار در این ناحیه از بالک است. فاضلی و همکاران [۱۲] با انجام آزمایش‌های متعدد تجربی آئرودینامیک راکت با بالک‌های خمیده را بررسی کردند. آن‌ها [۱۳] همچنین تلاش کردند تا با استفاده از معادلات لایه‌نازک ناویر - استوکس آشفته و ناحیه‌بندی شبکه محاسباتی هزینه حل را کاهش دهند. ماثو و همکاران [۱۴] به بررسی پایداری حرکت مخروطی راکت‌ها با بالک خمیده پرداختند. آن‌ها در این تحقیق نشان دادند که زاویه قرارگیری بالک‌ها اثر چشمگیری در گشتاور غلتی و جانی دارد درحالی‌که اثر کمی در گشتاور پیچشی دارد. کریشنا و همکاران [۱۵] به بررسی لزج و غیرلزج بودن جریان در اطراف این پرتا به‌ها پرداختند. آن‌ها عامل اصلی تغییر جهت چرخش در ماخ‌های بزرگ‌تر از ۱ را تغییر جریان از مادون صوت به مافق‌صوت در نزدیکی نوک بالک‌ها دانسته‌اند. لیو و همکاران [۱۶] به مقایسه آئرودینامیکی بالک‌های خمیده و تخت پرداختند. مطالعه آن‌ها نشان داد که تفاوت این دو نوع بالک تنها در گشتاور غلتی است و دیگر ویژگی‌های آئرودینامیکی آن‌ها تقریباً یکسان است. عمر و میان [۱۷] نیز به بررسی رفتار آئرودینامیکی ناجای بالک‌های خمیده در مقایسه با بالک‌های تخت پرداختند. آن‌ها نشان دادند در زاویه حمله صفر، فشار در دو طرف بالک خمیده برخلاف بالک تخت، متفاوت است. افضل و همکاران [۱۸] عملکرد آئرودینامیکی بالک‌های خمیده و بالک‌های شبکه‌ای را مقایسه کردند. آن‌ها دریافتند که بالک‌های خمیده از منظر پایداری عملکرد

روش‌های مختلفی به منظور پایداری و کنترل پرتا به‌ها نظری کنترل بردار رانش [۱] و [۲] جت جانبی [۳] و [۴] او هدایت به وسیله بالک‌ها [۵] و [۶] وجود دارد که در این میان کنترل به وسیله بالک‌ها بیش از بقیه در عمل استفاده می‌شوند. چند نوع بالک از نظر شکل ظاهری وجود دارد شامل بالک‌های تخت، خمیده و شبکه‌ای هستند. در حال حاضر عموماً بالک‌های کنترلی و پایدارکننده به صورت صفحات تخت هستند و از بالک‌های خمیده و شبکه‌ای در برخی موارد برای پایداری استفاده می‌شود.

استفاده بهینه از فضا و ویژگی‌های آئرودینامیکی منحصر به‌فرد از دلایل توجه به بالک‌های خمیده بر روی بدنه است. به دلیل قرارگرفتن این بالک‌ها در اطراف بدنه می‌توان کل پرتا به را در درون لوله جانمایی نمود و درنتیجه در فضایی مشخص تعداد بیشتری پرتا به را نسبت به حالت بالک ثابت قرارداد. تعبیه بالک‌ها در اطراف بدنه بدون اشغال فضای زیاد مربوط به آن‌ها در درون بدنه موجب ایجاد فضای بیشتر به منظور طراحی اجزای داخلی پرتا به مانند موتور، نازل ... می‌شود. قرارگیری بالک‌ها در اطراف بدنه باعث منحنی شدن آن‌ها در راستای ارتفاع می‌شود و این موضوع عامل بروز رفتارهای آئرودینامیکی جالبی می‌شود که محققان زیادی را به خود مشغول کرده است.

تعداد زیادی آزمایش تجربی بر روی پرتا به به همراه بالک‌های خمیده متداول انجام شده است. نکته جالب توجه، تفاوت زیاد مقدادر گزارش شده گشتاورهای غلتی و نیز عدد ماخی است که در آن جهت چرخش عوض می‌شود، این موضوع نشان‌دهنده طبیعت غیرخطی این جریان است. برای نمونه در آزمایش پروازآزاد آزمایشگاه<sup>۱</sup> JPL عدد ماخی که در آن جهت چرخش عوض می‌شود ۱/۸ معرفی شده [۷] درحالی‌که در آزمایش آزمایشگاه<sup>۲</sup> AEDC عدد ماخ ۱/۱ گزارش شده است [۸].

تحقیقات عددی زیادی به مطالعه آئرودینامیکی بالک‌های خمیده متداول پرداخته‌اند و هدف عمدۀ آن‌ها پیش‌بینی ویژگی‌های آئرودینامیکی هندسه متفاوت بالک‌ها و عدد ماخی که جهت گشتاور غلتی در آن تغییر می‌کند بوده است. ابیت و همکاران [۹] تحقیقات عددی و تجربی

بالکهایی با ارتفاع بیشتر است. در مدل قرارگیری متداول ارتفاع بالک تنها ۲۵٪ سطح بدنه است؛ اما در این روش با طراحی جدید امکان افزایش ارتفاع وجود دارد. از مزایای دیگر این نوع از قرارگیری بالک مقابله هم سیستم بازشوندگی ساده‌تر است که در بعضی از نمونه‌ها به وسیله جریانی از جت خروجی موتور تأمین می‌شود که در حالت متداول چهار خروجی لازم است؛ اما در این حالت تنها دو خروجی کافی است.

از معدهود پژوهش‌هایی که از بالکهای خمیده مقابله هم استفاده کرده‌اند می‌توان به تحقیق تجربی تامسون [۲۵] بر روی پرتابه‌ای با سه جفت بالک مقابله هم و دماغه قابل انحراف اشاره کرد. در این تحقیق از این نوع چیدمان بالک‌ها تنها به‌منظور حذف گشتاور غلتی جهت استفاده در پرتابه‌ای با دماغه متحرک استفاده شده است. در تحقیق دیگر آلن و واتسون [۲۶] بررسی قرارگیری بالک‌ها به صورت مقابله هم در پرتابه‌ای با کانارد تحت را انجام داده‌اند. آن‌ها این نوع بالک را به‌منظور حذف ویژگی‌های غیرخطی بالک‌های خمیده متداول استفاده کرده‌اند. در پژوهش‌هایی که تاکنون انجام شده به بررسی ویژگی‌های بالک‌های خمیده مقابله هم پرداخته نشده است و تنها از این بالک‌ها به‌منظور حذف گشتاور غلتی استفاده شده و ویژگی‌های آئرودینامیکی خود آنها مطالعه نشده است. باقری و همکاران [۲۷] به بررسی اثر قرارگیری بالک‌های مقابله هم در حذف گشتاور غلتی در چند زاویه بازشدن و ارتفاع بالک پرداختند. این تحقیق با استفاده از فرض جریان غیرلزج که دقت مناسبی در پیش‌بینی ضرایب آئرودینامیکی این پرتابه‌ها دارد، انجام شده است، نتایج نشان داد قرارگیری بالک‌ها مقابله هم گشتاور غلتی را کاملاً حذف می‌نماید.

هدف پژوهش حاضر بررسی اثر انحنای بالک‌های خمیده مقابله هم بر جریان اطراف آن‌ها و مقایسه عملکرد آئرودینامیکی آن‌ها با هم و همچنین مقایسه با بالک‌های تخت می‌باشد. این بررسی با استفاده از جریان آشفته و در عدد ماخ  $1/5$  و زاویه حمله  $0^\circ$  و  $5^\circ$  درجه انجام شده است. در این بررسی، نیروهای آئرودینامیکی شامل ضرایب پسا، برآ و گشتاور پیچشی مقایسه شده‌اند و خطوط جریان و توزیع فشار در اطراف پرتابه و بالک‌ها استخراج گردیده‌اند.

بهتری دارند. زانگ و همکاران [۱۹] به مطالعه مشخصه‌های آئرودینامیکی این پرتابه‌ها و عوامل تأثیرگذار بر آن پرداختند، آن‌ها دریافتند بالک‌ها با زاویه نصب مشخص منفی عملکرد مناسبی در برابر حرکت مخروطی دارند و پایداری پرتابه را در زوایای حمله بالا به خوبی حفظ می‌کنند. آن‌ها [۲۰] همچنین به مطالعه پارامتری بالک‌های متفاوت برای راکتها در سرعت‌های متفاوق صوت پرداختند. آن‌ها نشان دادند که بالک‌های تحت گشتاور غلتی تولید نمی‌کنند و بالک‌های خمیده پایداری طولی کل راکت را افزایش می‌دهند. دهلان و همکاران [۲۱] به شبیه‌سازی جریان در اطراف بالک‌های خمیده با استفاده از کد نیمه‌تجربی DATCOM و مقایسه نتایج آن با شبیه‌سازی عددی و نتایج تجربی پرداختند. بررسی آن‌ها نشان داد کد نیمه‌تجربی و شبیه‌سازی عددی الگویی مشابه نتایج تجربی در پیش‌بینی روند تغییرات نیروها دارند، اما شبیه‌سازی عددی دقت بیشتری در اندازه نیروها ارائه می‌کند. شارما و همکاران [۲۲-۲۳] به بررسی فیزیک جریان در اطراف بالک‌های خمیده پرداختند. بررسی آنها بر روی یک بالک تنها و همچنین چند بالک انجام شده است. آنها همچنین مقایسه‌هایی با بالک تحت انجام داده و برخی ویژگی‌های هندسی نظری زاویه پس‌گرایی را نیز بررسی کردند. آنها دریافتند پخ لبه حمله بالک گشتاور غلتی آن را کاهش می‌دهد. ماده‌ولالسا و همکاران [۲۴] به بررسی اثر زاویه پخ و زاویه پس‌گرایی لبه حمله بالک پرداختند. آنها دریافتند زاویه پخ لبه حمله بالک و زاویه پس‌گرایی اثر مهمی بر گشتاور غلتی دارد.

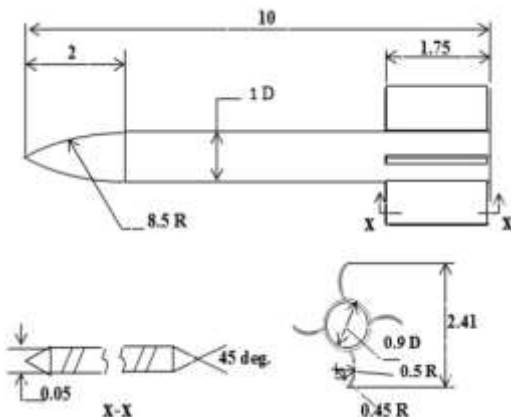
در عموم تحقیقات گذشته به بررسی بالک‌های خمیده متداول<sup>۱</sup> (CWAF) پرداخته شده است. بالک‌های خمیده متداول هندسه‌ای نامتقارن داشته و جریانی غیرخطی ایجاد می‌کنند. قرارگیری بالک‌های خمیده به صورت دو جفت متقابل (OWAF)<sup>۲</sup> مزایایی دارد که مهم‌ترین آن حذف گشتاور غلتی و ایجاد بستر کنترل راحت‌تر این پرتابه‌ها است. همچنین تقارن هندسی منجر به حذف ویژگی‌های آئرودینامیک نامطلوب مانند غیرخطی بودن نیروهای وارد بر بالک‌ها، می‌شود. یکی دیگر از مزایای این نوع قرارگیری بالک امکان استفاده از

1-Conventional Wrap-Around Fin

2-Opposite Wrap-Around Fin

### ۳- هندسه

هندسه مورداستفاده در این پژوهش راکت استاندارد TTCP<sup>۱</sup> (شکل ۱) می‌باشد که بالک‌های آن به صورت یک درمیان برگردانده شده‌اند. ابعاد بر اساس قطر بدنه بی‌بعد شده‌اند و قطر بدنه برابر ۱۰ سانتی‌متر است. لبه حمله و فرار بالک‌ها به میزان ۴۵ درجه پخ خورده‌اند. بالک‌ها در زاویه ۴۵ درجه نسبت به محور طولی بدنه قرار گرفته‌اند. در شکل ۲ هندسه با بالک‌های مقابله هم نشان داده شده است. در هندسه جدید، بالک‌ها به صورت دو جفت مقابله هم قرار گرفته‌اند.



شکل (۱): مدل استاندارد TTCP (ابعاد نسبت به قطر بی‌بعد شده‌اند)



شکل (۲): مدل پرتابه جدید با بالک‌های خمیده مقابله هم

### ۴- ناحیه محاسباتی و شرایط مرزی

اولین قدم در شبیه‌سازی سیالاتی ایجاد ناحیه محاسباتی و شبکه‌بندی آن می‌باشد. ناحیه محاسباتی مورداستفاده در شبیه‌سازی حاضر به شکل یک استوانه می‌باشد. بدنه پرتابه و بالک‌ها دارای شرط مرزی دیواره هستند. ابعاد ناحیه

### ۲- معادلات حاکم و روش عددی

برای یک سیال یک‌جذنی و در مختصات دکارتی، مدل‌سازی از نگاه اویلری معادلات حاکم بر جریان برای یک حجم کنترل V به صورت زیر است:

$$\frac{\partial}{\partial t} \int_V W dV + \oint [F - G] dA = \int_V H dV$$

که در آن  $dA$  المان مساحتی است که بخشی از سطح بیرونی حجم V را نمایندگی می‌کند. همچنین بردارهای F و G به صورت زیر تعریف می‌شوند:

$$W = \begin{Bmatrix} \rho \\ \rho u \\ \rho v \\ \rho w \\ \rho E \end{Bmatrix}, F = \begin{Bmatrix} \rho v \\ \rho vu + p\hat{i} \\ \rho vv + p\hat{j} \\ \rho vw + p\hat{k} \\ \rho vE + pv \end{Bmatrix}, G = \begin{Bmatrix} 0 \\ \tau_{xi} \\ \tau_{yi} \\ \tau_{zi} \\ \tau_{ij}v_j + q \end{Bmatrix} \quad (2)$$

در معادله (۱) H معرف آنتالیی کل در واحد جرم است و

به صورت زیر به انرژی کل مربوط می‌شود:

$$H = E + \frac{p}{\rho} \quad (3)$$

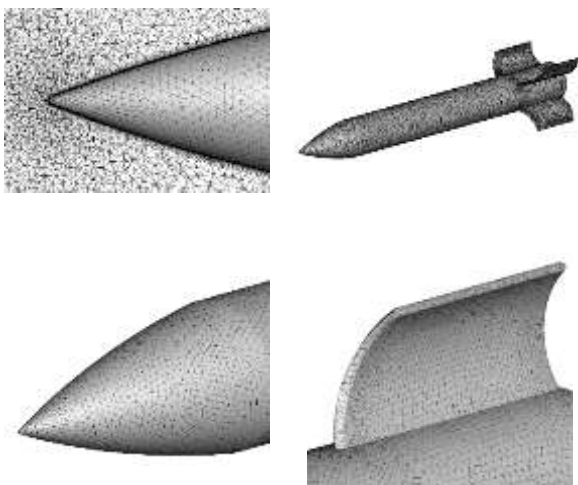
در معادله (۲) متغیرهای  $\rho$ ,  $E$ ,  $V$  و  $P$  به ترتیب بیانگر دانسیته، سرعت، انرژی کل به‌ازای واحد جرم و فشار سیال هستند.  $\tau$  تانسور تنשی‌های لزجتی است و  $q$  نماینده شار حرارتی به‌ازای واحد سطح هست. برای محاسبه شارهای غیرلزج از روش AUSM و از روش SST K-w به‌منظور شبیه‌سازی اثرات آشفتگی استفاده شده است. معادلات به صورت ضمنی حل شده و عدد کورانت  $0.95 / 0.95$  انتخاب شده است. برای این شبیه‌سازی از نرم‌افزار انسیس - فلوئنت استفاده شده است. در این شبیه‌سازی از روش حداقل مربعات بر پایه سلول<sup>۱</sup> برای محاسبه گرادیان‌ها و مرتبه دوم بالادرست<sup>۲</sup> برای محاسبه جریان استفاده شده است و در ابتدای شبیه‌سازی، جریان با بالادرست مرتبه اول حل شده و بعد از همگرایی دقت حل افزایش داده می‌شود. معیار توقف محاسبات عدم تغییر باقیمانده‌ها و اعداد بی‌بعد نظری ضرایب پسا، برآ و گشتاور پیچشی انتخاب شده است.

1-Least Squares Cell Based

2-Second Order Upwind

جدول (۱). نتایج شبیه‌سازی در شبکه‌های مختلف در ماخ  $1/6$  و زاویه حمله  $2$  درجه

تغییر %	Cm	تغییر %	CN	تغییر %	CA	تعداد سلول
12.71	0.1718	3.53	0.3378	7.55	0.5435	590k
7.11	0.1828	2	0.3328	4.92	0.5302	978k
5.6	0.1858	0.78	0.3288	2.36	0.5173	1558k
6.75	0.1835	0.28	0.3253	1.35	0.5122	2488k
5.3	0.1864	0.51	0.3246	0.52	0.5079	3887k
2.35	0.1922	0.24	0.3255	0.06	0.5056	6255k
0	0.1968	0	0.3263	0	0.5053	10198k

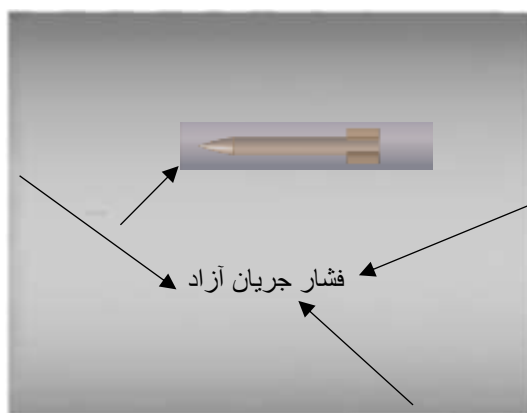


شکل (۴): شبکه محاسباتی در اطراف بدن پرتابه، دماغه و بالکها به همراه نمایش شبکه لایه‌مرزی

##### ۵- استقلال از شبکه

در لایه‌مرزی مجاور دیواره  $20$  ردیف سلول قرار داده شده است و ارتفاع اولین ردیف  $0.02\text{ mm}$  می‌باشد که در نتیجه آن فاصله بین بعد دیواره  $(Y+)$  کمتر از  $7$  شده است. در شکل  $5$  مقادیر  $Y+$  در اطراف بالکها و بدن نشان داده شده است. به منظور بررسی استقلال نتایج از شبکه محاسباتی تعدادی شبکه محاسباتی با تراکم‌های مختلف تولید شد. در جدول  $1$  نتایج شبیه‌سازی جریان در ماخ  $1/6$  و زاویه حمله  $2$  درجه ارائه گردیده است. مشاهده می‌شود نتایج در شبکه با ابعاد  $3/887$  میلیون سلول مستقل شده است.

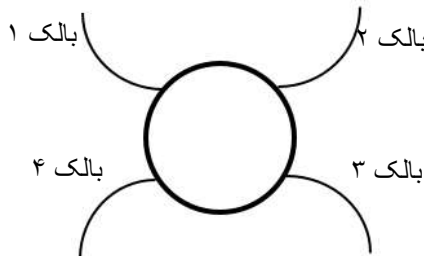
محاسباتی به صورتی در نظر گرفته شده‌اند که مرزهای اطراف اثری بر الگوی جریان نداشته باشند و شرط فشار جریان آزاد برقرار باشد. برای این منظور فاصله مرزها از جلو و انتهای بدن به ترتیب  $4$  و  $21$  برابر طول بدن می‌باشد و  $11$  برابر طول بدن از اطراف گسترش یافته است. به دلیل آنکه در شبیه‌سازی حاضر تنها جریان مافق صوت مورد بررسی قرار گرفته است، نیازی به گسترش زیاد ناچیه محاسباتی در جلوی پرتابه نمی‌باشد. در شکل  $3$  ناچیه محاسباتی نشان داده شده است.



شکل (۳): ناچیه محاسباتی در حل جریان لزج

در هندسه حاضر به دلیل تنوع بالای مولفه‌های هندسی و نیز پیچیدگی‌های زیاد هندسه در برخی حالات، ایجاد شبکه‌های سازمان یافته کاری بهشت دشوار و طاقت‌فرسا می‌باشد؛ بنابراین به دلیل تعداد زیاد هندسه‌های مورد بررسی و به منظور سهولت و سرعت در شبکه‌بندی و همچنین سهولت ایجاد شبکه لایه‌مرزی، از شبکه غیر سازمان یافته استفاده شده است. باهدف دستیابی به شبکه با تراکم بیشتر در اطراف پرتابه و بالکها، ناچیه‌ای سیلندری شکل با قطری در حدود  $3$  برابر قطر بدن پرتابه و با طولی  $1/4$  برابر آن در اطراف پرتابه ایجاد شده است (شکل  $3$ ). شبکه بر روی بدن در هندسه‌های مختلف به صورتی اعمال شده است که در لبه‌های بالکها حداقل سه ردیف سلول محاسباتی وجود داشته باشد. به منظور شبیه‌سازی دقیق تر اثرات آشفتگی از شبکه لایه‌مرزی در نزدیکی دیواره‌ها استفاده شده است. در شکل  $4$  شبکه محاسباتی در اطراف بدن و بالکها نشان داده شده است.

است تا این ضرایب عرضی شامل نیروی جانبی و گشتاورهای غلتشی و جانبی حذف شود. به منظور بررسی میزان این ضرایب، مقادیر آنها به تفکیک در هر چهار بالک و بدنه پرتابه پایه در جدول ۲ گزارش شده است. ترتیب قرارگیری بالکها از نمای رویرو در شکل ۷ نشان داده شده است. پرتابه پایه، پرتابه بالک خمیده متداول است که بالکهای آن یک در میان برعکس شده‌اند. در این پرتابه زاویه بازشدن  $180^\circ$  درجه، انحنای  $48/3$  mm، طول وتر  $mm$   $177/8$ ، ارتفاع  $65/3$  mm، ضخامت  $5$  mm و بدون زاویه پس‌گرایی است.

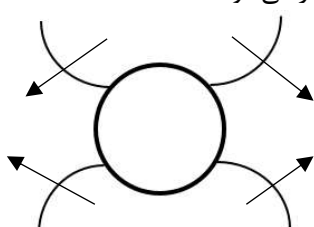


شکل (۷): ترتیب قرارگیری بالکها

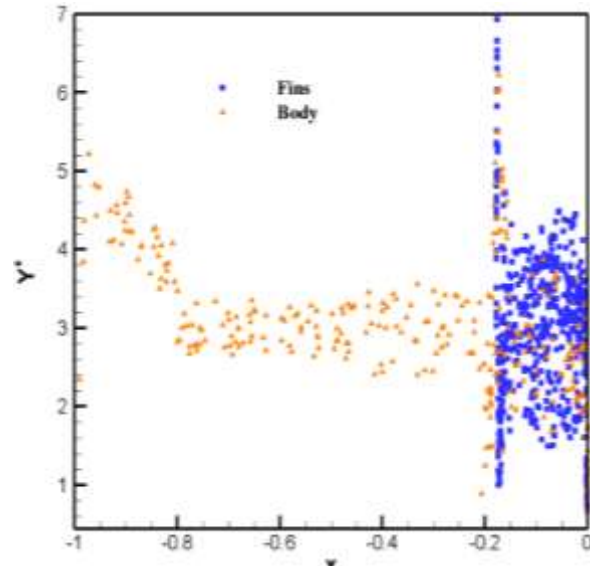
جدول (۲): ضرایب نیرو و گشتاور جانبی به تفکیک بالکها و بدنه در هندسه پایه و در زاویه حمله  $5^\circ$  درجه

ضریب گشتاور غلتشی	ضریب گشتاور جانبی	ضریب نیروی جانبی	اجزاء پرتابه
1.06E-05	-0.0013	-0.00015	بدنه
0.10706	-0.2331	0.07688	بالک ۱
-0.107	0.23237	-0.07666	بالک ۲
-0.16495	-0.33761	0.14416	بالک ۳
0.16526	0.33846	-0.14445	بالک ۴
0.00039	-0.00119	-0.00022	کل پرتابه

همان‌طور که انتظار می‌رود بدنه پرتابه هیچ ضریب جانبی ندارد؛ اما هر یک از بالکها به تنها یک ضریب جانبی قابل توجهی دارند و این موضوع در سایر گزارش‌های قبلی نیز تأیید شده است. در طرح جدید با توجه به قرارگیری بالکها مقابله هم این نیروها همانند شکل ۸ هم‌دیگر را خنثی کرده و در نتیجه مجموع نیروی وارد بر پرتابه در طرح جدید صفر می‌شود.



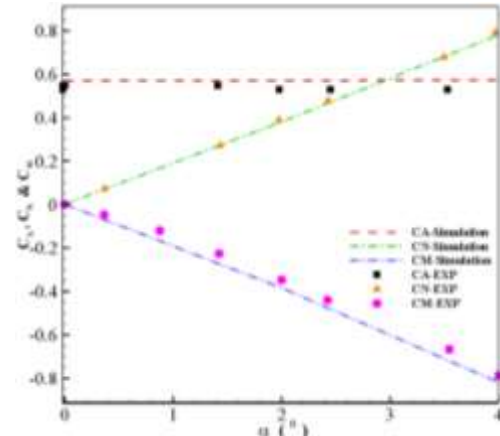
شکل (۸): شماتیک جهت نیرو و گشتاورهای جانبی وارد بر بالکها



شکل (۵): مقادیر  $\gamma_+$  در نقاط مختلف بر روی بدنه و بالکها (یک پنجاهم کل نقاط نشان داده شده است)

## ۶- اعتبارسنجی

به منظور اعتبارسنجی نتایج، جریان حول پرتابه TTCP در ماخ  $1/6$  و در زوایای حمله  $0^\circ$ ،  $2^\circ$  و  $4^\circ$  درجه شبیه‌سازی شده است و در شکل ۶ نتایج با آزمایش توپل باد فورنیر<sup>۱</sup> [۲۸] مقایسه شده است که از دقت مناسبی برخوردار است.



شکل (۶): مقایسه ضرایب نیروی محوری، عمودی و گشتاور پیچشی حاصل از شبیه‌سازی و نتایج تجربی [۲۸]

## ۷- بررسی ضرایب عرضی در هندسه جدید

مهم‌ترین موضوع در بررسی آیرودینامیک پرتابه‌های دارای بالکهای خمیده وجود ضرایب عرضی در این بالکها حتی در زاویه حمله صفر درجه است. در این طرح جدید قرارگیری بالکهای خمیده به صورت متقابل، تلاش شده

<sup>۱</sup> Fourmer

خمیدگی بالک، کاهش می‌یابند. کاهش همزمان ضریب برآ و پسا با کاهش خمیدگی بالک باعث ثابت ماندن تقریبی نسبت این دو ضریب شده است. اما خمیدگی بیشتر بالک سبب افزایش ۲۰ درصدی ضریب گشتاور پیچشی شده است. این به معنای افزایش پایداری پرتایه دارای بالک‌های خمیده‌تر است.

در جدول ۴، ضریب پسا وارد بر بدنه و بالک‌ها در مقادیر مختلف انحنا ارائه شده است. مشاهده می‌گردد که ضریب پسای وارد بر بدنه ثابت است؛ اما در بالک‌ها با کاهش خمیدگی، تا حدود ۱۷ درصد کاهش می‌یابد. با تغییر انحنا سطح روبروی جریان (پیشانی بالک) و سطح در تماس با جریان (سطح دو طرف بالک) هر دو تغییر می‌کنند. به منظور بررسی وزن هریک از این تغییرات در تغییر ضریب پسای تفکیک بخش فشاری و اصطکاکی این ضریب در جدول ۵ مشخص شده است. مشاهده می‌شود که با کاهش خمیدگی بالک، ضریب پسای فشاری کاهش حدود ۷ درصدی را تجربه می‌کند؛ در حالی که ضریب پسای اصطکاکی کاهش چندانی ندارد.

جدول (۴): ضریب نیروی پسای وارد بر بدنه و هر یک از بالک‌های رو

به باد و پشت به باد

انحنا mm	زاویه حمله (درجه)	ضریب نیروی پسای وارد بر بدنه	ضریب نیروی پسای وارد بر بالک پشت به باد	ضریب نیروی پسای وارد بر بالک رو به باد
40.00	.	0.474	0.080	0.081
48.30		0.478	0.074	0.076
60.00		0.474	0.073	0.072
80.00		0.473	0.070	0.070
بالک تخت		0.472	0.067	0.067
40.00	۵	0.515	0.087	0.092
48.30		0.519	0.084	0.088
60.00		0.519	0.079	0.084
80.00		0.514	0.074	0.080
بالک تخت		0.524	0.075	0.079

جدول (۵): اثر انحنا بر مؤلفه‌های ضریب پسا

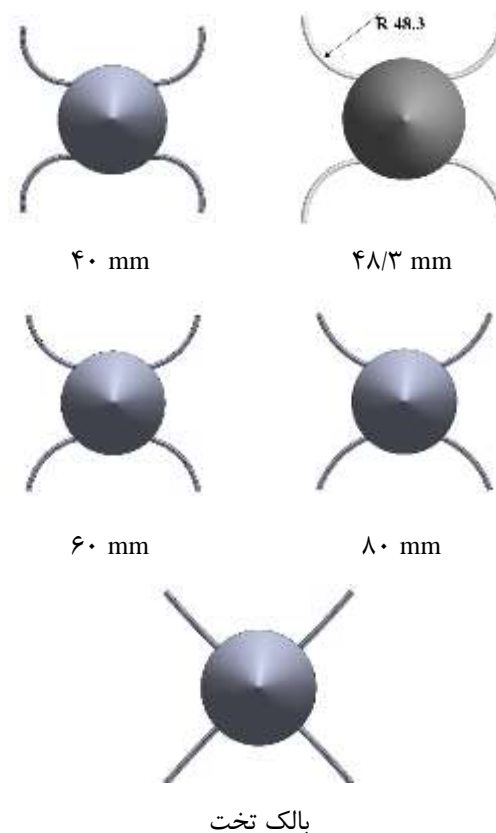
انحنا mm	زاویه حمله (درجه)	$C_D$	$C_D$ فشاری	$C_D$ اصطکاکی
40.00	.	0.795	0.686	0.114
48.30		0.776	0.667	0.111
60.00		0.764	0.655	0.110
80.00		0.754	0.646	0.110
بالک تخت		0.742	0.635	0.108
40.00	۵	0.874	0.764	0.113
48.30		0.864	0.752	0.113
60.00		0.846	0.736	0.111
80.00		0.823	0.715	0.110
بالک تخت		0.822	0.723	0.111

## ۸- بررسی اثر انحنا

جهت بررسی تأثیر انحنای بالک، هندسه‌های با مقادیر شعاع انحنای بالک، ۴۰ mm، ۴۸/۳ (حالت مبنا)، ۶۰ و ۸۰ و همچنین حالت تخت (شکل ۹)، در دو زاویه حمله ۰، ۵ درجه و ماخ ۱/۵ مورد شبیه‌سازی قرار گرفت. بالک تخت برابر سطح سایه بالک‌های خمیده است. نتایج این شبیه‌سازی‌ها در جدول ۳ نشان داده شده‌اند.

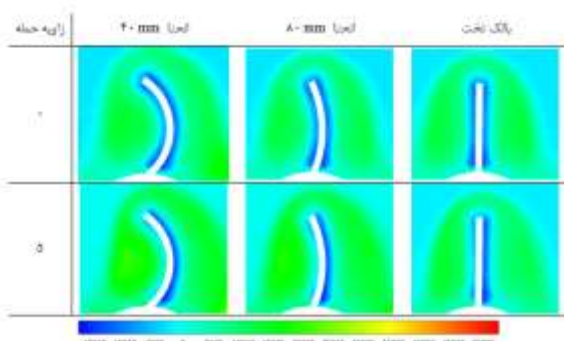
جدول (۳): اثر انحنای بالک‌ها بر ضرایب آرودینامیکی

انحنا	زاویه حمله (درجه)	$C_D$	$C_L$	$C_L/C_D$	$C_M$
40.00	.	-	-	-	0.795
48.30		-	-	-	0.776
60.00		-	-	-	0.764
80.00		-	-	-	0.754
بالک تخت		-	-	-	0.742
40.00	۵	1.142	1.098	0.960	0.874
48.30		1.070	1.087	0.939	0.864
60.00		0.919			0.846
80.00		0.938	1.086	0.894	0.823
بالک تخت		0.923	1.093	0.899	0.822

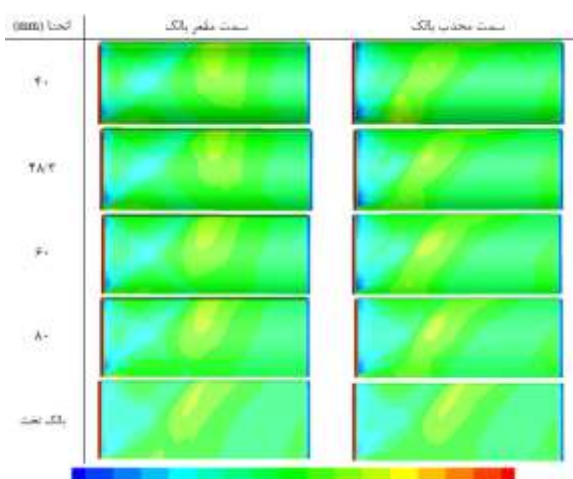


شکل (۹): هندسه بالک‌ها در انحناهای مختلف

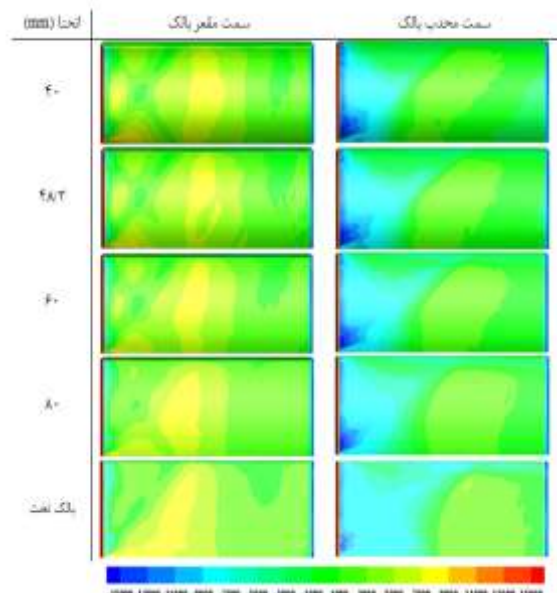
مشاهده می‌گردد ضریب برآ با کاهش خمیدگی بالک (افزایش شعاع انحنای بالک از ۴۰ تا ۸۰ mm)، در حدود ۷ درصد کاهش و ضریب پسا در حدود ۶ درصد با کاهش



شکل (۱۰): توزیع فشار در اطراف بالک رو به باد و در نزدیکی لبه حمله بالک در دو انحنای ۴۰ و ۵ میلی‌متر و بالک تخت



شکل (۱۱): توزیع فشار در قسمت محدب و مقعر بالک در انحنای‌های متفاوت در زاویه حمله ۵ درجه



شکل (۱۲): توزیع فشار در قسمت محدب و مقعر بالک رو به باد در انحنای‌های متفاوت در زاویه حمله ۵ درجه

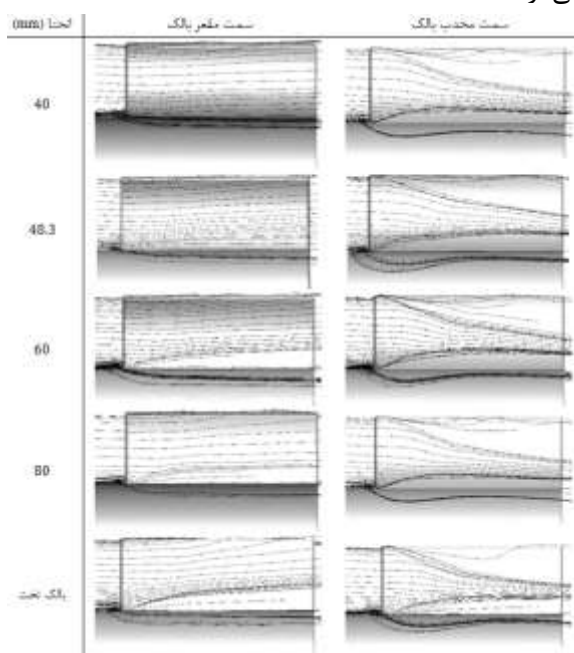
برای بررسی دقیق‌تر اثر جریان، ضرایب برآ مرتبه به بدن و همچنین بالک‌های رو به باد و پشت به باد به صورت جداگانه، در جدول ۶ ارائه گردیده است. مشاهده می‌شود عمدۀ تغییر در ضریب برآ ناشی از بالک‌های رو به باد می‌باشد.

جدول (۶): اثر انحنای بر مؤلفه‌های ضریب برآ در زاویه حمله ۵ درجه

انحنای mm	ضریب برآ وارد بر بدنه	ضریب برآ وارد بر بالک پشت به باد	ضریب برآ وارد بر بالک رو به باد
40.00	0.449	0.110	0.147
48.30	0.452	0.109	0.135
60.00	0.451	0.106	0.130
80.00	0.434	0.107	0.124
بالک تخت	0.446	0.104	0.123

اثر انحنای بر جریان در اطراف بالک را از سه منظر ۱) تغییر در قدرت شاک نشسته در لبه حمله بالک‌ها و همچنین تغییر در زاویه این شاک و اثر آن بر بالک مقابل، ۲) تغییر در شرایط عبور جریان در قسمت مکفر و محدب بالک‌ها و همچنین ۳) تغییر در میزان جدایش جریان در محل اتصال لبه حمله بالک به بدنه می‌توان بررسی کرد. جریان در قسمت محدب بالک همانند جریان در اطراف مخروط از آزادی عملی بیشتری برخوردار است و همین موضوع سبب کاهش فشار در این ناحیه می‌گردد؛ اما در قسمت مقعر به دلیل انحنای بالک، جریان از شاک قوی‌تری در لبه حمله عبور می‌کند و اثرات فشاری بیشتری به جریان وارد می‌شود. با افزایش شعاع انحنای به دلیل نزدیک شدن به بالک تخت، اختلاف قدرت شاک دو طرف بالک کاهش می‌باید (فارغ از اثرات زاویه حمله) و همین موضوع باعث کاهش نیروی تولیدی توسط بالک می‌شود. در شکل ۱۰ توزیع فشار در نزدیکی لبه حمله بالک در کمترین و بیشترین شعاع انحنای نشان‌داده شده است. مشاهده می‌شود در بالک خمیده‌تر ناحیه پر فشار در قسمت میانه ارتفاع به بالک نزدیک‌تر است. همین موضوع منجر به افزایش فشار در بالک می‌شود که در اشکال ۱۱ و ۱۲ با ایجاد ناحیه با فشار بیشتر در نزدیکی لبه حمله بالک با خمیدگی بیشتر مشخص است. در اشکال ۱۴ و ۱۵ ضریب فشار در مقاطع مختلف وتر بالک (شکل ۱۳) نشان‌داده شده است. مشاهده می‌شود هرچه خمیدگی بالک بیشتر باشد اختلاف فشار طرفین بالک بیشتر است. در شکل ۱۴ که اثرات زاویه حمله وجود ندارد ضریب فشار بالک خمیده‌تر تقریباً در تمامی مقاطع از سایر بالک‌ها منبسط‌تر است. یعنی در این بالک اثرات فشار قسمت مقعر و اثرات انبساطی در قسمت محدب بیشتر از سایر بالک‌ها است.

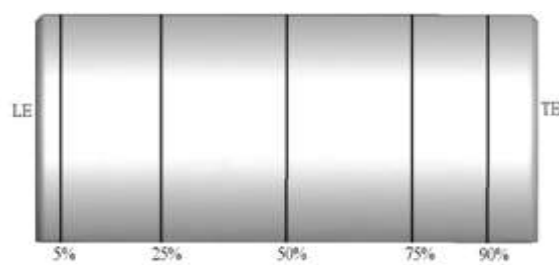
به منظور بررسی اثر انحنا بر روی خطوط جریان اطراف بالک‌ها، این خطوط در شکل ۱۷ رسم شده‌اند. در قسمت مقعر جداش جریان موجود در محل اتصال بالک به بدنه در حالت خمیدگی زیاد بالک حذف گردیده است؛ اما با کاهش خمیدگی بالک و نزدیک شدن بالک به بالک تخت، میزان جداش بزرگ‌تر می‌گردد. در جریان برگشتی از ناحیه پرفشار به ناحیه کم‌پشار قسمت نوک بالک، عملکرد بالک‌ها مستقل از خمیدگی است. با افزایش خمیدگی انتظار می‌رود عبور جریان از ناحیه پرفشار به ناحیه کم‌پشار به دلیل خمیدگی، کمتر گردد؛ اما افزایش قدرت ناحیه پرفشار با خمیدگی بالک سبب اعمال نیروی بیشتر برای عبور جریان می‌گردد.



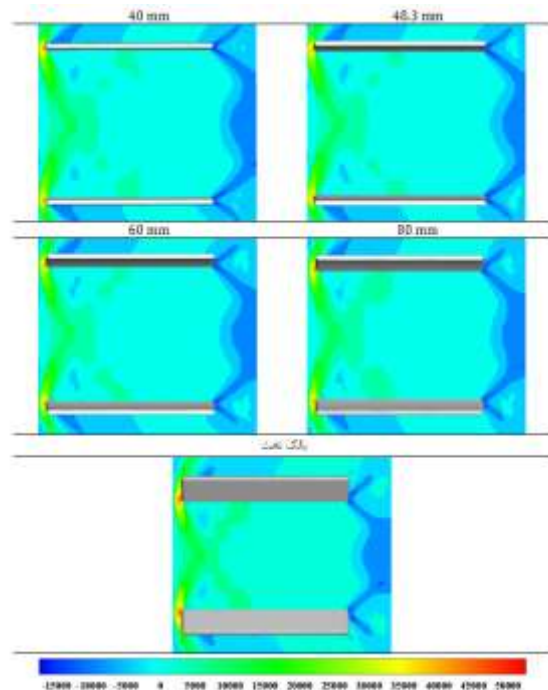
شکل (۱۷): تغییرات خطوط جریان در اطراف بالک‌ها با خمیدگی‌های متفاوت در زاویه حمله ۵ درجه

## ۹- نتیجه‌گیری

در این تحقیق به بررسی اثر انحنا بالک‌های خوابیده بر روی بدنه مقابله هم بر عملکرد آبیودینامیکی پرتابه پرداخته شده است. این بررسی با استفاده از شبیه‌سازی عددی و در جریان آشفته مأمور صوت انجام و فیزیک جریان در اطراف بالک‌ها مشخص گردیده است. انحنای بالک سبب افزایش قدرت شاک لبه حمله در قسمت مقعر و در نتیجه اثر آن بر روی بالک مقابله می‌شود. این افزایش قدرت شاک منجر به ایجاد ناحیه پرفشار در اطراف بالک می‌گردد. انحنا سبب



شکل (۱۳): مقاطع مختلف وتر بالک بر حسب درصد در شکل‌ها ۱۱ و ۱۲ توزیع فشار بر روی قسمت مقعر و محدب بالک‌های رو به باد نشان داده شده است. با کاهش خمیدگی بالک، در سمت مقعر ناشسته بر لبه حمله بالک مقابل است (شکل ۱۶)- به سمت لبه حمله بالک انتقال می‌یابد و ناحیه کم‌پشار قسمت محدب نیز گسترده‌تر می‌شود. این دو موضوع سبب می‌شود که در بالک‌های با خمیدگی کمتر، گشتوار پایداری کمتری تولید شود. نکته دیگری که از این اشکال می‌توان متوجه شد اختلاف در قدرت و ابعاد ناحیه کم‌پشار در نزدیکی محل اتصال لبه حمله بالک با بدنه در سمت محدب بالک است. علت این موضوع تغییر در فضای عبور جریان در نزدیکی محل اتصال بالک به بدنه است که در خمیدگی بیشتر فضای کمتری احساس می‌کند، درنتیجه شاک قوی‌تری بر روی لبه حمله بالک می‌نشیند و این شاک قوی‌تر انسباط قوی‌تری نیز دارد.



شکل (۱۶): توزیع فشار در مقاطع میانی ارتفاع بالک‌ها در راستای طول بالک برای انحنای‌های متفاوت

- fins at supersonic Mach numbers utilizing design of experiments", 32nd Aero Sci Meet and Exh. 1994.
- [11] Tilmann, C.P., Buter, T.A. and Bowersox, R.D.W. "Characterization of the flowfield near a wrap-around fin at Mach 2.8" J AIRCRAFT, Vol. 35, NO. 6, pp. 868-875, 1998.
- [12] Soltani, M. R., Fazeli, H., Farhanieh, B., and Davari, A. R."An Experimental Study of the Aerodynamic Behavior of the Two Wrap Around Fin Missiles", Advanced materials in engineering (Esteghlal), Vol. 22, 2002, (in persian).
- [13] Fazeli, H., Farhanieh, B., and Azimi, A. "Computation of three-dimensional supersonic turbulent flows over wrap-around fin projectiles using personal computers", SCI IRAN, pp. 217-228, 2005.
- [14] Mao, X., Yang, S. and Xu, Y. "Coning motion stability of wrap around fin rockets" SCI CHINA SER E, Vol. 50, pp. 343-350, 2007.
- [15] Krishna, R., Surit, R., Kushari, A. and Ghosh, A.K. "Anomalies in the Flow over Projectile with Wrap-around Fins", DEFENCE SCI J, Vol. 59, No. 5, pp. 471-484, 2009.
- [16] Liu, X., Tang, S.J. and Guo, J. "Comparison of the Wrap-Around Fins and the Planar Fins in Aerodynamic Parameter", APPL MECH MATER, Vol. 444, pp. 347-351, 2014.
- [17] Umar, M. and Mian, H.H. "Numerical investigation of aberrant aerodynamic behavior of wrap-around fins in collation with planar fins", 12th Int. Bhurban Conf. on App Sci Tech (IBCAST). IEEE, 2015.
- [18] Afzal, S., Baig, A. and Rafique, M. "Aerodynamics of projectiles with wrapped around and grid fins", Proceedings of 10th Int. Bhurban Con. on App. Sci.s & Tec. (IBCAST). IEEE, 2013.
- [19] Zhang, G.Q., Yu, S.C. and Schlüter, J. "Aerodynamic characteristics of a wrap-around fin rocket" AIRCR ENG AEROSP TEC, Vol. 88, No.1, pp. 82-96, 2016.
- [20] Zhang, G.Q., Ji, L.C., Xu, Y. and Schlüter, J. "Parametric study of different fins for a rocket at supersonic flow", P I MECH ENG C-J MEC, 2015.
- [21] Dahalan, M.N., Suni, A.F., Ishak, I.S., Mohd, N.A.R.N. and Mat, S. "Aerodynamic study of air flow over a curved fin rocket", J. Adv. Res. Fluid Mech, Vol. 40, No. 1, pp. 46-58, 2017.
- [22] Sharma, N., Saini, P., Chaudhary, H. and Nagi, G. "Comparison of Flow field in the proximity of A Single Planar & Wrap-around Fin", Int. J. Aviat. Aeronaut. Aerosp., Vol. 6, No. 4, pp. 11, 2019.
- [23] Sharma, N. and Kumar, R. "The simulation of single wraparound fin on a semi-cylindrical missile body", AIRCR ENG AEROSP TEC, 2020.
- [24] Madhulaalasa, K., Shishir, P., Prasad, P.V.S., Mohanta, P.K. and Sapkale, S. "Effect of the Leading-Edge Sweep on Wrap-Around Fins", INCAS Bull., Vol. 14, No. 1, pp. 69-78, 2022.
- [25] Thomson, K. D. "Wind tunnel tests on a tube-launched missile configuration with a deflectable nose control and a novel wrap-around fin stabilizer", Weapons Systems Research Lab Adelaide, Australia, No. WSRL-0327-TR., 1983.

افزایش آزادی عمل جریان در قسمت محدب و در نتیجه کاهش فشار در این ناحیه شده که این دو موضوع منجر به افزایش نیروی بر آی بالک در حدود ۷ درصد می‌شود. جابه‌جایی اثرات شاک بالک‌های مقابله هم به همراه تغییر در الگوی جریان ناشی از انحنا باعث افزایش گشتاور پایداری به میزان ۲۰ درصد می‌شود. با افزایش انحنای بالک، از جدایش جریان موجود در محل اتصال بالک به بدنه در لبه حمله، کاسته شده و به تدریج حذف می‌گردد. افزایش فشار ناحیه مقعر باعث افزایش تمایل جریان به ناحیه کم‌فشار پشت آن می‌گردد که این موضوع با اثرات خمیدگی بالک خنثی می‌گردد.

## ۱۰- مراجع

- [1] Porzio, A. J., and Franke M. E. "Experimental study of a confined jet thrust vector control nozzle" J PROPUL POWER Vol. 5, No.5, pp. 596-601,1989.
- [2] Mahmoudi, M., Shadravan, M., and Kashani, M. "Introducing Methods of Thrust Vector Control (TVC) System in Supersonic Aircraft", JTAE, 2019, (in Persian.)
- [3] Tavakoli Sabour, S. A., and Hadi doolabi, M. "Experimental Investigations of Dual Side Jets into Subsonic and Supersonic Cross-flow on The Standard Model", Tabriz Mech Eng J, 2018, (in Persian.)
- [4] Bagheri, A., Mohammad Khani, H., and Barezban, M. "Numerical investigation of the aerodynamic effects of hot lateral jet in supersonic flow in PAC-3 missile", 16th Int Conf Iranian Aero Ass, 2016, (in Persian.)
- [5] Pasandideh-Fard, M., and Khalghani, A. "Aerodynamic Shape Optimization of Supersonic Projectile Fins", Fluid Mech Aero J, Vol. 1, No. 1, pp. 73-87, 2012, (in Persian).
- [6] Arezoomand, B., Parhizgar, H. and Tarabi, A. " The Effect of the Geometric Parameters of the Fin on Aerodynamic Performance of Missile. " Fluid Mech Aero J, Vol. 9, no. 1, pp. 1-15, 2020, (in persian).
- [7] Dahlke, C.W. "The Aerodynamic Characteristics of Wrap-around Fins at Mach Numbers of 0.3 to 3.0", Army Missile Research Development and Engineering Lab, Redstone Arsenal AL Aeroballistics Directorate, No. RD-77-4, 1976.
- [8] Winchenbach, G.L., Buff, R.S., Whyte, R.H. and Hathaway, W.H. "Subsonic and transonic aerodynamics of a wraparound fin configuration", J GUID CONTROL DYNAM, Vol. 9, No. 6, pp. 627-632, 1986.
- [9] Abate, G., and Cook, T. "Analysis of missile configurations with wrap-around fins using computational fluid dynamics", Flight Simulation and Technologies, 1993.
- [10] Swenson, M., Abate, G. and Whyte, R. "Aerodynamic test and analysis of wrap-around

- [26] Allen, J. M., and Watson, C. B. "Experimental study at low supersonic speeds of a missile concept having opposing wraparound tails", National Aeronautics and Space Administration Langley Research Center, Hampton, 1994.
- [27] Bagheri, A., Pasandidehfard, M. and Tavakoli Sabour, S.A. "Numerical investigation of aerodynamic effects of opposite wrap-around fins at supersonic speeds", P I MECH ENG C-J MEC, Vol. 233, No. 7, pp. 2410-2425, 2019.
- [28] Fournier, R. H. "Supersonic aerodynamic characteristics of a series of wrap-around-fin missile configurations", No. L-11153. 1977.